

# 6 | Loi de Biot et Savart - Théorème de superposition et symétries

<https://cpinettes.u-cergy.fr/S3-Electromag.html>

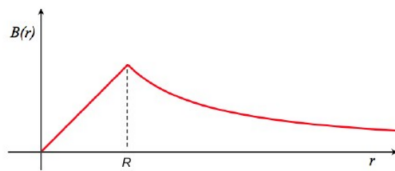
Symétries :

champs	$\vec{E}$	$\vec{B}$	
source du champ	charges $q_i$	courant $I_j$	invariantes syt. de coord.
Symétrie	symétries par rapport aux sources		
Antisymétrie	antisym. pour les sources		Symétrie plane + "signe -"
direction du champ	direction pour $\pi$	$\vec{E} \in \pi$ ; $2(\pi) \Rightarrow$ direction de $\vec{E}$	$\vec{B} \perp \pi$ ; $1(\pi) \Rightarrow$ direction de $\vec{B}$
direction du champ	direction pour $\pi^*$	$\vec{E} \perp \pi^*$ ; $1(\pi^*) \Rightarrow$ direction de $\vec{E}$	$\vec{B} \in \pi^*$ ; $2(\pi^*) \Rightarrow$ direction de $\vec{B}$

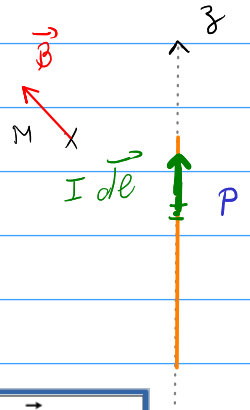
## Ex 1. Fil rectiligne infiniment long

- a) Calculer, par intégration en utilisant la loi de Biot et Savart, le champ magnétique  $\vec{B}$  créé en un point  $M$  quelconque par un fil rectiligne infiniment long et défini par l'axe  $(Oz)$ .

$$\vec{B}(r) = \frac{\mu_0 I}{2\pi r} \vec{e}_\varphi$$



?



Loi de Biot et Savart :

$$\vec{B}(M) = \int_{P \in \text{fil}} d\vec{B}_P(M) = \frac{\mu_0}{4\pi} \int_{P \in \text{fil}} \frac{Id\vec{l}(P) \wedge \vec{PM}}{PM^3} = \frac{\mu_0}{4\pi} \int_{P \in \text{fil}} \frac{Id\vec{l} \wedge \vec{u}_{PM}}{r^2}$$

- $\vec{B}(M)$  est continu en  $M$  lorsque  $M$  est dans une distribution volumique de courant,
- $\vec{B}(M)$  est discontinu en  $M$  lorsque  $M$  est sur une nappe de courant surfacique,
- $\vec{B}(M)$  diverge en  $M$  lorsque  $M$  est sur une distribution linéique de courant.

→

① Définition, continuité de  $\vec{B}$ : distribution linéique (fil) du courant  
 $\Rightarrow \vec{B}$  diverge sur le fil ( $r=0$ : divergence)

① Système de coordonnées choisi: coord. cylindriques  $\vec{B}(r, \theta, z)$

H: projeté orthogonal de M sur l'axe  $Oz$ :

Base =  $(\vec{u}_r, \vec{u}_\theta, \vec{u}_z)$   
 origine O; sur le fil "où on veut" car fil  $\infty$   $H=0$

② Invariances: (-courant)

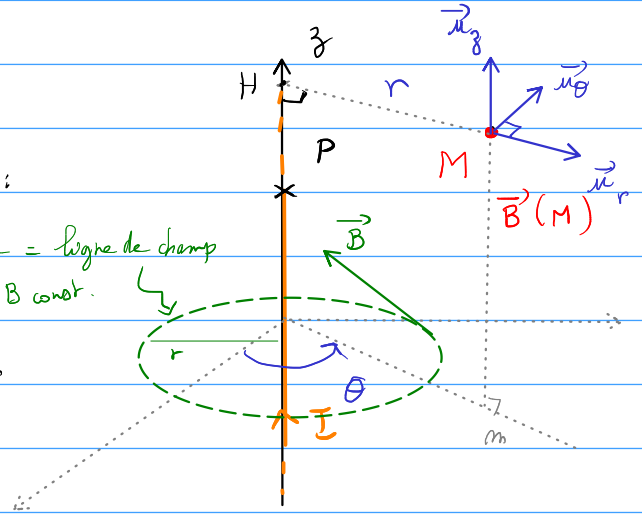
$\hookrightarrow$  invariance par rotation autour de l'axe  $Oz$  de la distrib. de courant:

$\vec{B}$  ind. de  $\theta$

cerce = ligne de champ  
 $B$  const.

$\hookrightarrow$  fil  $\infty$ : invariance par translation selon  $z$  de la distrib. de courant:

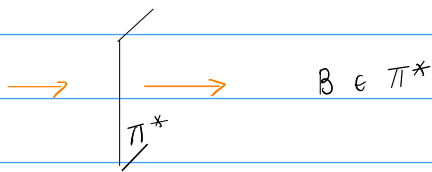
$\vec{B}$  ind. de  $z$



$\vec{B}(r)$

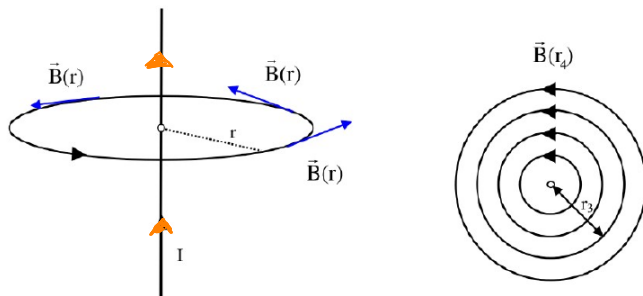
③ Symétries:  $\vec{B} = B(r) \vec{u}_\theta$  (cf question 1)

$\pi^* = (M, \vec{u}_r, \vec{u}_\theta)$  plan d'antisymétrie



$\pi = (M, \vec{u}_z, \vec{u}_r)$  plan de symétrie  $B \perp \pi \Rightarrow \vec{B} = B \vec{u}_\theta$

Exemple du fil infini parcouru par un courant uniforme :



Lignes d'un champ magnétique orthoradial et vue du dessus

$\vec{B} = B(r) \vec{u}_\theta$

④ Théorème d'Ampère :

$$\vec{B}(r) = \frac{\mu_0 I}{2\pi r} \vec{u}_\theta$$

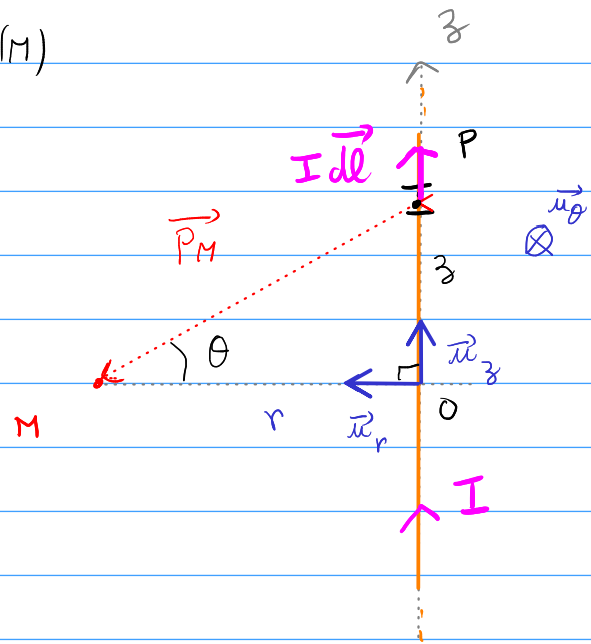
a) Loi de Biot et Savart:

Champ magnétique élémentaire :  $d\vec{B}(M)$

$$d\vec{B}(M) = \frac{\mu_0}{4\pi} \left( \frac{I d\vec{l} \wedge \vec{PM}}{\|\vec{PM}\|^3} \right)$$

discontinuité sur le fil

Le champ total est la somme vectorielle de tous les champs élémentaires créés par tous les points P de l'axe



$z = z_P$

$$\vec{B} = \int_{\text{fil}} d\vec{B}(M) = \int_{\text{fil}} \left( \frac{\mu_0}{4\pi} \right) \left( \frac{I d\vec{l} \wedge \vec{PM}}{\|\vec{PM}\|^3} \right)$$

*constants*

$$\vec{OM} = r \vec{u}_r$$

$$\vec{OP} = z_P \vec{u}_z = z \vec{u}_z$$

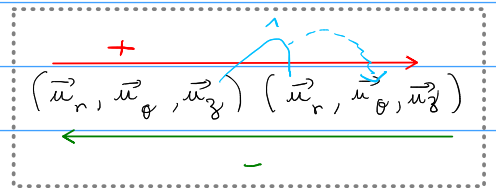
$I d\vec{l} = I dz \vec{u}_z$

$\vec{PM} = \vec{PO} + \vec{OM} = -\vec{OP} + \vec{OM} = (-z \vec{u}_z + r \vec{u}_r)$

$\|\vec{PM}\|^2 = z^2 + r^2$

$$\vec{B}(M) = \left( \frac{\mu_0 I}{4\pi} \right) \int_{z=-\infty}^{+\infty} \frac{dz \vec{u}_z \wedge [-z \vec{u}_z + r \vec{u}_r]}{(z^2 + r^2)^{3/2}}$$

base  $\vec{u}_z, \vec{u}_r$  direct  $\vec{u}_\theta$   
B.O.D cylindriques :  $(\vec{u}_z \wedge \vec{u}_r) = +\vec{u}_\theta$   
Ortho Normé



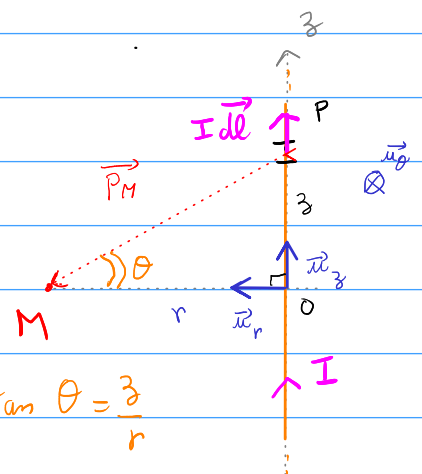
$$\vec{B}(M) = \left( \frac{\mu_0 I}{4\pi} \right) \int_{z=-\infty}^{+\infty} \frac{r dz}{(z^2 + r^2)^{3/2}} \vec{u}_\theta$$

• position de P  $\Leftrightarrow z$ ,  $\vec{u}_\theta$  inchangé

• changement de variable:

$$\left[ (z^2 + r^2) \right]^{3/2} = \left[ r^2 \left( \left( \frac{z}{r} \right)^2 + 1 \right) \right]^{3/2} \quad \text{or} \quad \tan \theta = \frac{z}{r}$$

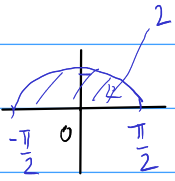
$z \in ]-\infty, +\infty[ \Leftrightarrow \theta \in \left[ -\frac{\pi}{2}, \frac{\pi}{2} \right]$



$$\tan \theta = \frac{z}{r}$$

$$K = \int_{-\infty}^{+\infty} \frac{r dz}{[r^2 + z^2]^{3/2}}$$

$$\vec{B}(M) = \left( \frac{\mu_0 I}{4\pi} \right) K \vec{u}_\theta$$



$$K = \int_{-\infty}^{+\infty} \frac{r dz}{r^3 [1 + (\frac{z}{r})^2]^{3/2}} = \int_{-\pi/2}^{+\pi/2} \frac{\left( \frac{r^2}{r^3} \right) d\theta}{\cos^2 \theta [1 + \tan^2 \theta]^{3/2}} = \frac{1}{r} \int_{-\pi/2}^{+\pi/2} \cos \theta d\theta$$

changement de variable:  $\tan \theta = \frac{z}{r}$ ,  $z \rightarrow +\infty : \theta \rightarrow +\frac{\pi}{2}$   
 $z \rightarrow -\infty : \theta \rightarrow -\frac{\pi}{2}$

$$\hookrightarrow dz = \left( \frac{\partial z}{\partial \theta} \right) d\theta = \frac{\partial}{\partial \theta} \left( r \tan \theta \right) d\theta = r \left( \frac{\partial \tan \theta}{\partial \theta} \right) d\theta$$

$$r dz = r^2 \frac{d\theta}{1/(\cos^2 \theta)}$$

$$\hookrightarrow 1 + \tan^2 \theta = \left( \frac{1}{\cos^2 \theta} \right) \Rightarrow \cos^2 \theta [1 + \tan^2 \theta]^{3/2} = \cos^2 \theta \times \frac{1}{\cos^3 \theta} = \frac{1}{\cos \theta}$$

$$K = \frac{2}{r} \quad \hookrightarrow \vec{B} = \frac{\mu_0 I}{4\pi} \left( \frac{2}{r} \right) \vec{u}_\theta = \left( \frac{\mu_0 I}{2\pi r} \right) \vec{u}_\theta$$

b) Retrouver ce champ magnétique  $\vec{B}$  en appliquant le théorème d'Ampère.

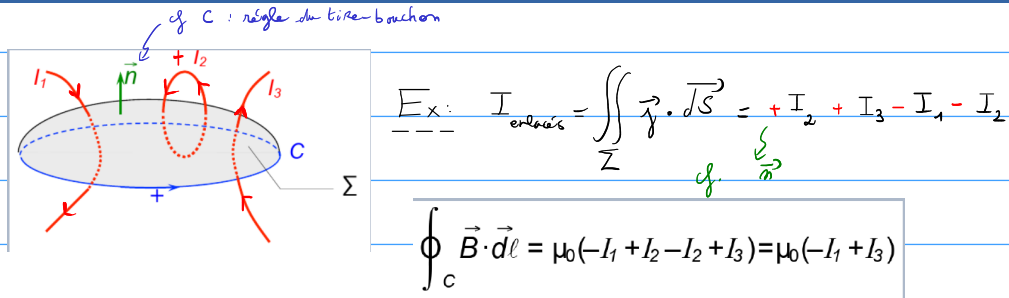
## Théorème d'Ampère :

### Distribution volumique de courant :

Pour une distribution (volumique de courant), le **théorème d'Ampère** s'écrit en régime permanent et dans l'ARQS : Quelque soit le contour fermé  $C$ , et quelque soit la surface  $S$  délimitée par  $C$  :

$$\oint_{M \in C} \vec{B}(M) \cdot d\vec{l}(M) = \mu_0 I_{\text{enlacés}} = \mu_0 \iint_S \vec{j} \cdot d\vec{S}$$

Avec le sens de  $d\vec{S}$  fixé par le sens de  $d\vec{l}$  avec la règle de la main droite (ou du tire-bouchon).



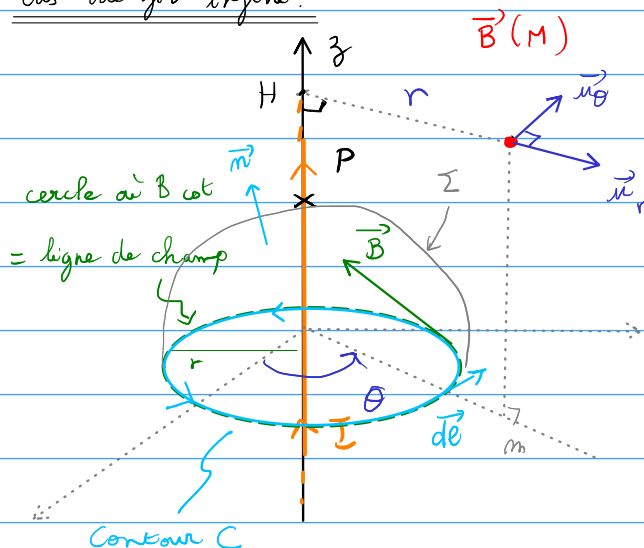
$I_{\text{alg}}$  (comptée positivement si elle traverse  $S$  dans le sens de sa normale)

↳ contour  $C$  fermé "bien choisi" (ex: ligne de champ où  $B$  constant)

↳  $C$  orienté  $\Rightarrow$  sens de  $\vec{m}$  (règle du "tire-bouchon")

↳ courants **algébriques** :  
 +  $\vec{m}$  sens que  $\vec{m}$   
 - sens opposé à  $\vec{m}$

cas du fil infini :



$$\vec{B} = B(r) \vec{u}_\theta$$

contour  $C$  : cercle d'axe  $Oz$

et de rayon  $r$  où  $B$  est constant

(ligne de champ ---)

Théorème d'Ampère :

$$\oint_C \vec{B} \cdot d\vec{l} = \mu_0 I_{\text{enlacé}}$$

↳  $\vec{B} = B(r) \vec{u}_\theta$ ,  $B(r)$  constant à  $r$  fixé

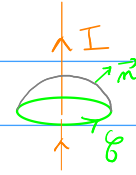
↳  $d\vec{l} = dl_\theta \vec{u}_\theta = r d\theta \vec{u}_\theta$

$$\oint_C \vec{B} \cdot d\vec{\ell} = \int_{\theta=0}^{2\pi} B(r) \vec{u}_\theta \cdot r d\theta \vec{u}_\theta = r B(r) \int_{\theta=0}^{2\pi} d\theta = 2\pi r B(r)$$

$\vec{u}_\theta \cdot \vec{u}_\theta = 1$

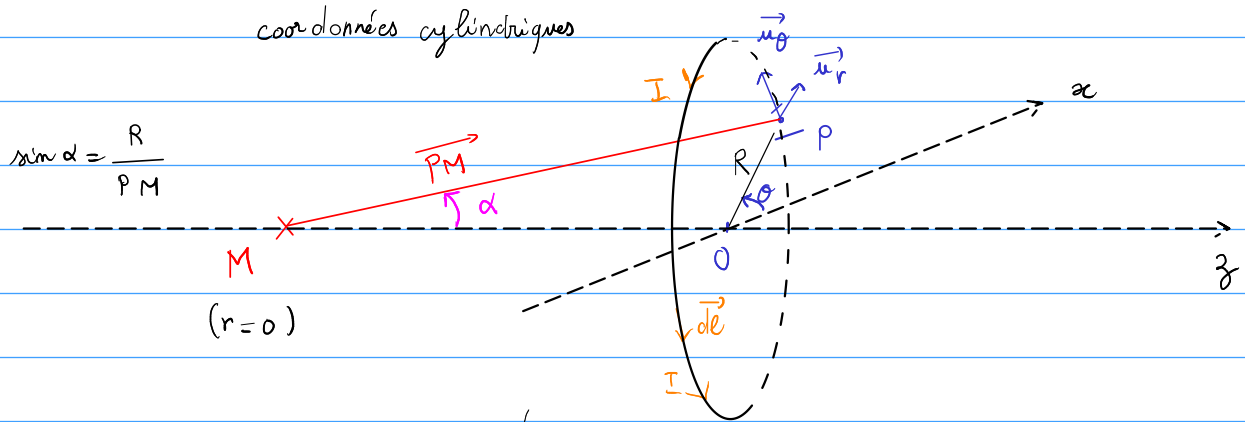
donc  $2\pi r B(r) = \mu_0 I_{\text{enroulé}} = \mu_0 (+I)$

$$\vec{B} = \left( \frac{\mu_0 I}{2\pi r} \right) \vec{u}_\theta$$



### Exercice 3 – Spire

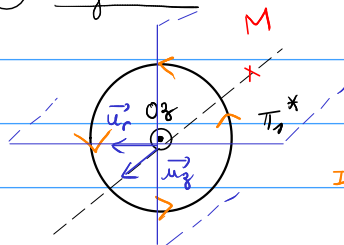
Calculer, par intégration en utilisant la *loi de Biot et Savart*, le champ magnétique  $\vec{B}$  (direction, sens et module) créé en un point  $M$  de l'axe de révolution d'une spire de centre  $O$  et de rayon  $R$  parcourue par un courant d'intensité  $I$  constante.



*Biot et Savart*:  $d\vec{B} = \frac{\mu_0}{4\pi} \left( \frac{I d\vec{\ell} \wedge \vec{PM}}{\|\vec{PM}\|^3} \right) \rightarrow \vec{B} = \int_{\text{spire}} d\vec{B}$

- ①  $\vec{B}$  continu et défini sauf sur la spire
- ①  $\vec{B}(r, \theta, z)$
- ②. invariance par rotation de la distribution de courant:  $\vec{B}$  indépendant de  $\theta$ 
  - $M$  sur l'axe  $Oz$ :  $r=0$   $\vec{B}(0, \theta, z) = \vec{B}(z)$

③ Symétries:



$\Pi_1^* = (M, \vec{u}_r, \vec{u}_z)$   
plan d'antisymétrie

$\Pi_2^* = (M, \vec{u}_\theta, \vec{u}_z)$   
plan de symétrie

$\vec{B} \in \Pi_1^* \text{ et } \Pi_2^* \Rightarrow$

$$\vec{B} = B(z) \vec{u}_z$$

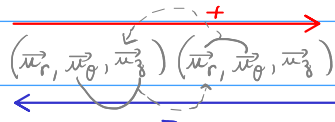
direction de I parcourant le cercle

$$\vec{B} = \int_{\text{spire}} d\vec{B} = \int_{\text{spire}} \frac{\mu_0}{4\pi} \left( \frac{I d\vec{e} \wedge \vec{PM}}{\|\vec{PM}\|^3} \right)$$

$$d\vec{e} = dl_{\theta} \vec{u}_{\theta} = R d\theta \vec{u}_{\theta}$$

$$\vec{PM} = \vec{PO} + \vec{OM} = -R \vec{u}_r - z \vec{u}_z$$

$$\|\vec{PM}\|^2 = R^2 + z^2$$



$$\vec{B} = \int_{\text{spire}} \frac{\mu_0 I R d\theta \vec{u}_{\theta} \wedge (-R \vec{u}_r - z \vec{u}_z)}{4\pi (R^2 + z^2)^{3/2}}$$

$\vec{u}_{\theta} \wedge \vec{u}_r = -\vec{u}_z$        $\vec{u}_{\theta} \wedge \vec{u}_z = +\vec{u}_r$

$$\vec{B} = \frac{\mu_0 I R}{4\pi (R^2 + z^2)^{3/2}} \left[ \int_{\theta=0}^{2\pi} R d\theta \vec{u}_z + \int_{\theta=0}^{2\pi} (-z) d\theta \vec{u}_r \right] = B(z) \vec{u}_z$$

$\int_{\theta=0}^{2\pi} \vec{u}_r d\theta = \vec{0}$  (retour s'annule 2 à 2)

$$\vec{u}_r = \cos\theta \vec{u}_x + \sin\theta \vec{u}_y$$

$$\int_0^{2\pi} \vec{u}_r d\theta = \left( \int_0^{2\pi} \cos\theta d\theta \right) \vec{u}_x + \left( \int_0^{2\pi} \sin\theta d\theta \right) \vec{u}_y = \vec{0}$$

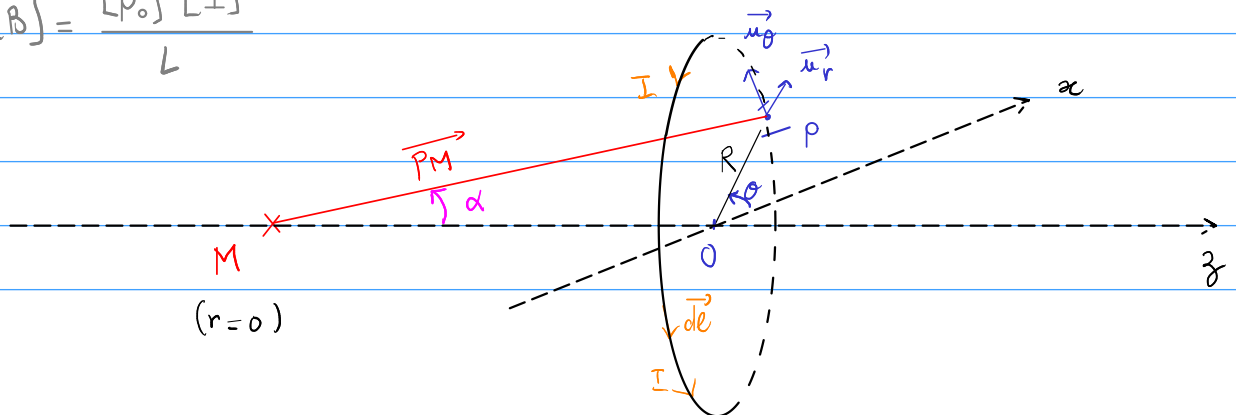
$[\sin\theta]_0^{2\pi} = 0$        $-[\cos\theta]_0^{2\pi} = -(1-1) = 0$

$$\vec{B} = \frac{\mu_0 I R^2}{4\pi (R^2 + z^2)^{3/2}} \left( \int_0^{2\pi} d\theta \right) \vec{u}_z = \left( \frac{\mu_0 I}{2} \right) \frac{R^2}{(R^2 + z^2)^{3/2}} \vec{u}_z$$

$$\sin \alpha = \frac{R}{\|\vec{PM}\|} = \frac{R}{(R^2 + z^2)^{1/2}} \Rightarrow \sin^3 \alpha = \frac{R^3}{(R^2 + z^2)^{3/2}}$$

$$\vec{B} = \left( \frac{\mu_0 I}{2R} \right) \sin^3 \alpha \vec{u}_z, \text{ en M sur l'axe de la spire.}$$

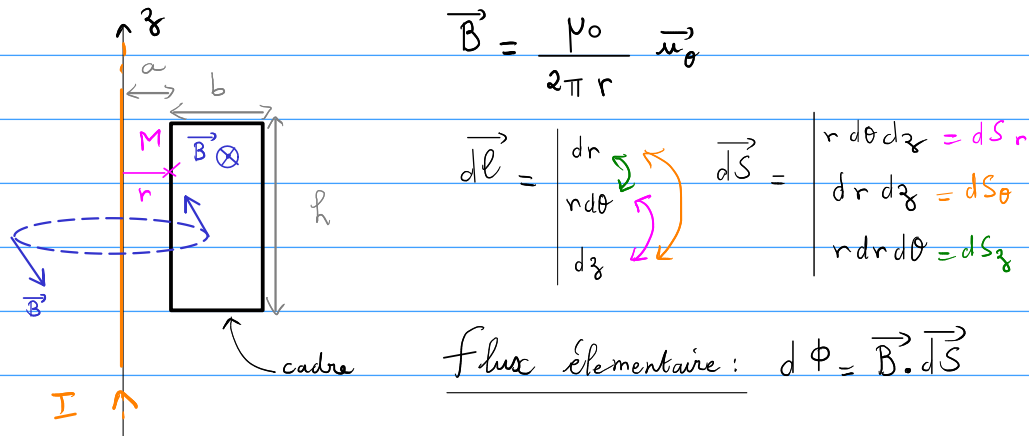
$$[B] = \frac{[\mu_0][I]}{L}$$



## Exercice 2 – Calcul de flux du champ magnétique pour un fil

Déterminer l'expression du flux  $\Phi(\vec{B})$  du champ magnétique  $\vec{B}$  créé par un fil rectiligne infini parcouru par un courant d'intensité  $I$ , à travers un rectangle dont le plan contient le fil, de dimension  $h$  (parallèle au fil) et  $b$  (perpendiculaire au fil).

Le côté le plus proche du fil se trouvant à la distance  $a$ . ( $a < b < h$ )



$$d\Phi = B(r) \vec{u}_\theta \cdot d\vec{S} = B(r) dS_\theta = B(r) dr dz$$
$$\Phi = \int_{r=a}^{a+b} \frac{\mu_0 I}{2\pi r} dr \int_0^h dz = \frac{\mu_0 I h}{2\pi} \int_a^{a+b} \frac{dr}{r} = \frac{\mu_0 I h}{2\pi} \ln\left(\frac{a+b}{a}\right)$$

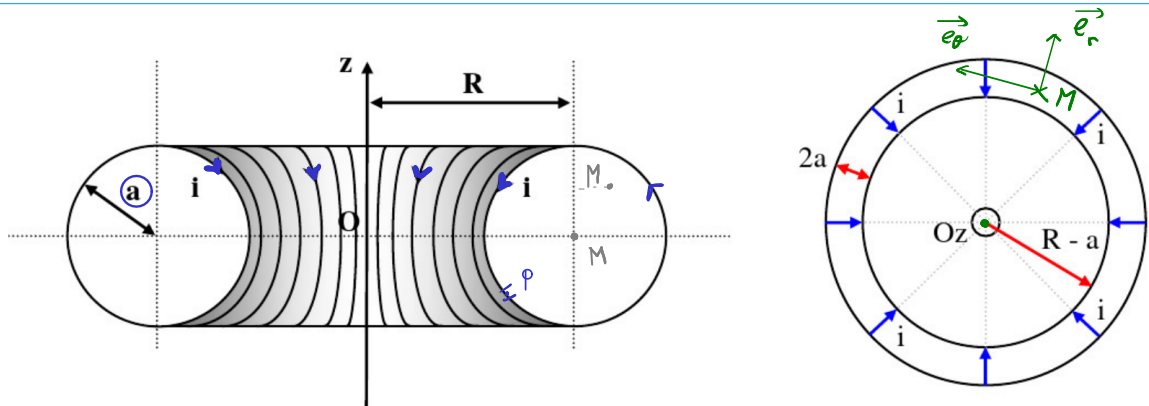
## Détermination de champ magnétique

### Exercice 4 – Tore circulaire

On veut étudier le champ magnétique créé par une distribution de courants présente sur un tore circulaire de rayon  $R$  à section circulaire de rayon  $a$ . On note  $O$  le centre du tore et  $(Oz)$  son axe de révolution. Une chambre à air gonflée, de vélo par exemple, constitue un tel tore.

La distribution de courants est constituée par un enroulement d'un grand nombre de  $N$  spires jointives circulaires de rayon  $a$  enroulées sur toute la surface du tore, le sens du courant étant donné sur la figure. On négligera l'épaisseur des fils.

Soit  $M$  un point quelconque de l'espace où l'on cherche le champ magnétique  $\vec{B}$  créé par cette distribution.



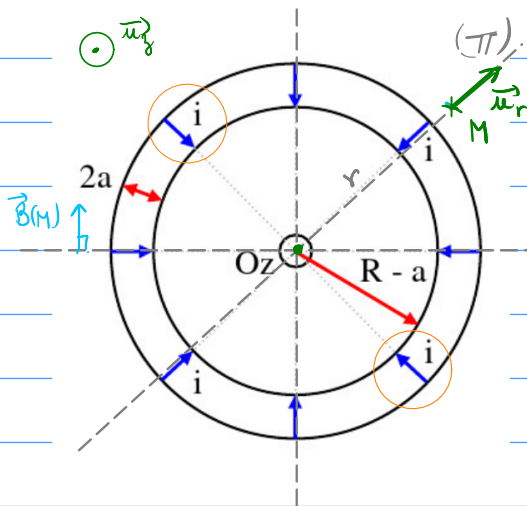


1/ Étude qualitative

a) Quel est le domaine de définition du champ magnétique? Dans toute la suite, on considère que  $M$  appartient à ce domaine.

a) Le champ magnétique est défini et continu sur tout l'espace sauf sur les spires (où  $i$ )

b) Quelle est la direction de  $\vec{B}$  en  $M$ ? Justifier la réponse.



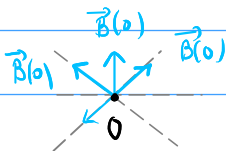
Tous les plans  $\Pi$  passant par  $M$  et contenant l'axe  $(Oz)$  sont des plans de symétrie :

$$(M, \vec{u}_r, \vec{u}_z) = \Pi$$

$$\vec{B} \perp \Pi \rightarrow \vec{B} = B(r, \theta, z) \vec{u}_\theta$$

c) Que vaut  $\vec{B}$  au point  $O$ ?  $\Pi_0 = (O, \vec{u}_r, \vec{u}_z) \rightarrow \vec{B}(O) \perp \Pi_0$  donc

$$\vec{B}(O) = \vec{0}$$

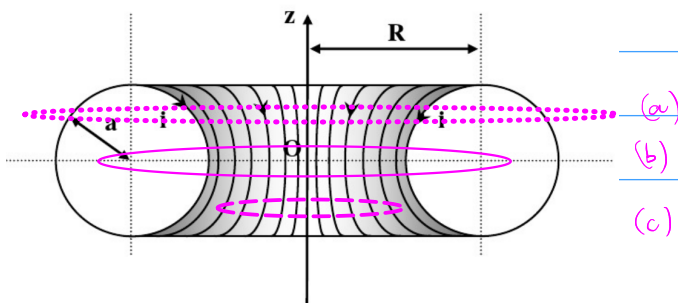


d) Justifier le choix du système de coordonnées cylindriques d'axe  $(O, z)$ . De quelle(s) coordonnée(s) dépend le module  $\|\vec{B}\|$  du champ?

L'axe de révolution du tore est  $(Oz)$  donc on doit choisir les coordonnées cylindriques.

La distribution de courant est invariante par rotation autour de l'axe  $(Oz)$  donc  $\|\vec{B}\|$  est indépendant de  $\theta$  :  $\vec{B} = B(r, z) \vec{u}_\theta$

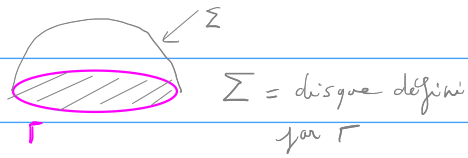
ligne de champ = cercle de centre sur l'axe  $(Oz)$   $\Rightarrow B(r, z)$  constant sur la ligne de champ à  $r, z$  fixés



2/ Montrer qu'en tout point situé à l'extérieur du tore,  $\vec{B}$  est nul.

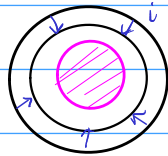
**Théorème d'Ampère:**  $\Gamma$  = ligne de champ fermée = arce de rayon  $r$ , d'altitude  $z$ , centrée sur l'axe  $(Oz)$

$$\oint_{\Gamma} \vec{B} \cdot d\vec{\ell} = \mu_0 \sum I_{\text{alg}}$$



\* à l'extérieur du tore: cas (a) et (c)

(c)

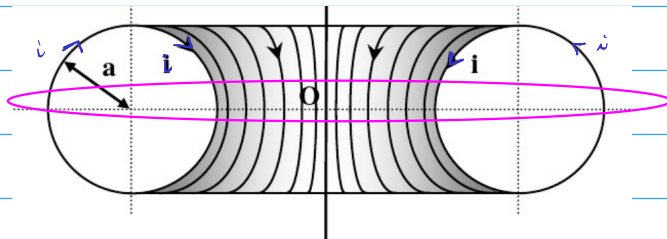


Ce disque défini par le arce n'est traversé

par aucun courant:  $\sum I_{\text{alg}} = 0$

$$\Rightarrow \vec{B} = \vec{0}$$

(a)



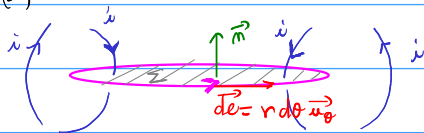
$\sum I_{\text{alg}} = (i - i) + (i - i) = 0$  il y a autant de courants entrants que de courants sortants:  $\vec{B} = \vec{0}$

3/ Déterminer l'expression de  $\vec{B}$  en un point quelconque de l'intérieur du tore.

$$\begin{aligned} \oint_{\Gamma} \vec{B} \cdot d\vec{\ell} &= \oint_{\Gamma} B(r, z) \vec{u}_{\theta} \cdot r d\theta \vec{u}_{\theta} = \int_{\text{arce}} B(r, z) r d\theta \\ &= B(r, z) r \int_0^{2\pi} d\theta = \underline{2\pi r B(r, z)} \end{aligned}$$

constant à  $r, z$  fixé

(b)



Ce disque est coupé par les  $N$  spires avec un courant "descendant", dans le sens opposé à

$$\vec{m} = \vec{u}_z \text{ donc } \sum I_{\text{alg}} = N(-i)$$

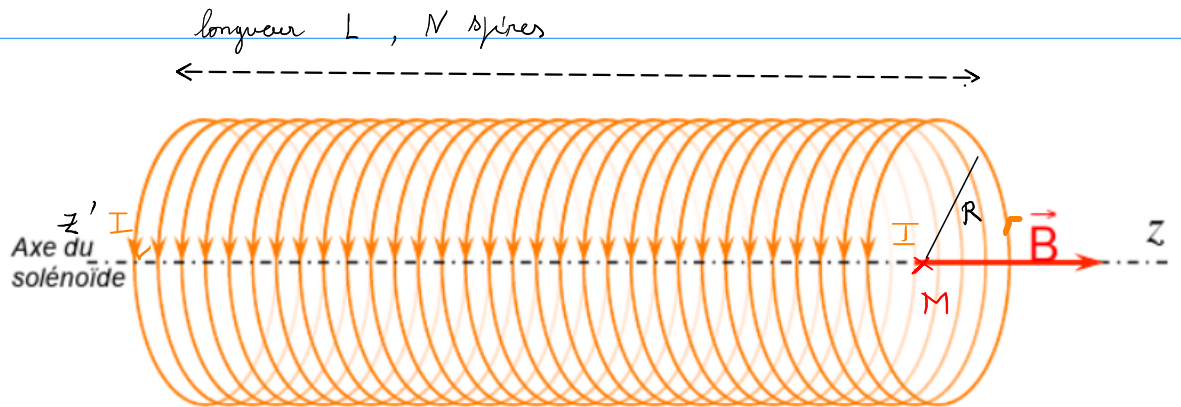
par rapport à  $\vec{m}$

$$\oint \vec{B} \cdot d\vec{\ell} = 2\pi r B(r, z) = \mu_0 (-Ni) \Rightarrow B(r, z) = \frac{-\mu_0 N i}{2\pi r}$$

$$\vec{B} = \frac{-\mu_0 N i}{2\pi r} \vec{u}_{\theta}$$

### Exercice 5 – Solénoïde fini \*

On considère un solénoïde (fini) de longueur  $L$  et comprenant  $N$  spires, chacune étant parcourue par un courant d'intensité  $I$  constante. Ces spires sont circulaires de rayon  $R$  et sont régulièrement enroulées sur un cylindre de révolution autour de l'axe  $(z'z)$ .



On cherche à déterminer complètement le champ magnétique  $\vec{B}(M)$  en un point  $M$  quelconque de l'axe  $(z'z)$ . Le courant et l'axe  $(z'z)$  sont orientés de manière directe (règle du tire-bouchon).

- 1/ Soit une longueur élémentaire  $dz$  de l'axe  $(z'z)$  où se trouve le solénoïde. Quel nombre élémentaire  $dN$  de spires se trouvent entre la cote  $(z)$  et  $(z + dz)$  ?

$$\begin{array}{ccc} N \text{ spires} & \xrightarrow{\quad} & \text{longueur } L \\ dN & \xrightarrow{\quad} & dz \end{array}$$

$$N dz = dN L \Rightarrow dN = \left( \frac{N}{L} \right) dz$$

- 2/ Calculer le champ élémentaire  $d\vec{B}(M)$  créé au point  $M$  par ces  $dN$  spires ?

- pour une seule spire :  $M$  sur l'axe,

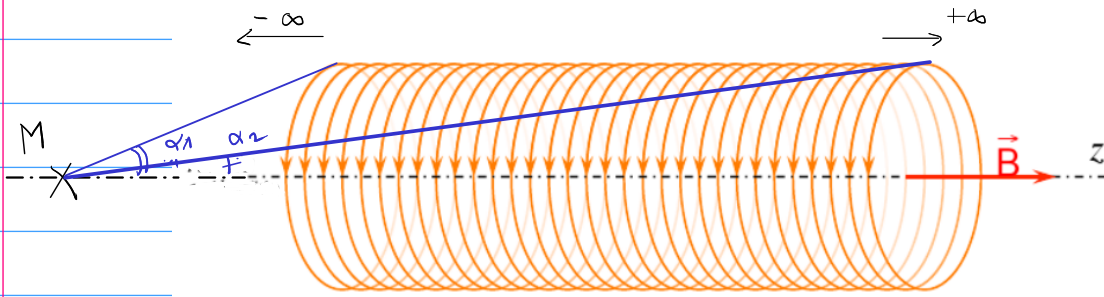
$$\vec{B}_{1 \text{ spire}}(M) = \left( \frac{\mu_0 I}{2R} \right) \sin^3 \alpha \vec{u}_z ; \quad \sin \alpha = \frac{R}{(R^2 + z^2)^{1/2}}$$

$\alpha$  : demi-angle sous lequel depuis  $M$  on voit la spire

- pour  $dN$  spire,  $dN = \frac{N}{L} dz$

$$d\vec{B}(M) = \vec{B}_{1 \text{ spire}}(M) \times dN = \left( \frac{\mu_0 I N}{2R L} \right) \sin^3 \alpha dz \vec{u}_z$$

3/ En déduire la valeur  $B(z)$  du champ magnétique au point  $M(z)$ . On fera apparaître les angles  $\alpha_1$  et  $\alpha_2$  sous lesquels on voit, du point  $M$ , la spire d'entrée et la spire de sortie du solénoïde.



$$\vec{B}(M) = \int_{\text{solénoïde}} d\vec{B}(M) = \int_{\text{solénoïde}} \left( \frac{\mu_0 I N}{2R L} \right) \sin^3 \alpha \, dz \, \vec{u}_z$$

*vecteur constant*

$$\vec{B}(M) = \frac{\mu_0 I N}{2RL} \vec{u}_z \left( \int_{\text{solénoïde}} \sin^3 \alpha \, dz \right)$$

$$K = \int \sin^3 \alpha \, dz; \quad \tan \alpha = \frac{R}{z} \Rightarrow z = \frac{R}{\tan \alpha} = R \frac{\cos \alpha}{\sin \alpha}$$

$$dz = d \left( R \frac{\cos \alpha}{\sin \alpha} \right) = R \left( \frac{d \left( \frac{\cos \alpha}{\sin \alpha} \right)}{d\alpha} \right) d\alpha$$

$$= R d\alpha \left[ \frac{-\sin \alpha \sin \alpha - \cos \alpha \cos \alpha}{\sin^2 \alpha} \right] = -\frac{R}{\sin^2 \alpha} d\alpha$$

$$K = \int \sin^3 \alpha \left( -\frac{R}{\sin^2 \alpha} \right) d\alpha = -R \int_{\alpha_1}^{\alpha_2} \sin \alpha \, d\alpha = -R \left[ -\cos \alpha \right]_{\alpha_1}^{\alpha_2}$$

$$K = R \left( \cos(\alpha_2) - \cos(\alpha_1) \right)$$

$$\vec{B}(M) = \frac{\mu_0 I N}{2RL} R \left( \cos(\alpha_2) - \cos(\alpha_1) \right) \vec{u}_z = \frac{\mu_0 I N}{2L} \left( \cos(\alpha_2) - \cos(\alpha_1) \right) \vec{u}_z$$

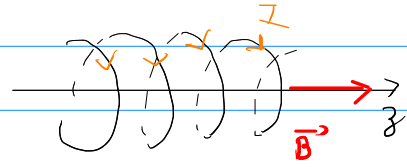
*sans dimension*

$$[B] = \left[ \frac{\mu_0 I}{L} \right] \text{ ok}$$

4/ Retrouver l'expression du champ magnétique  $\vec{B}(M)$  à l'intérieur d'un solénoïde infiniment long, en utilisant le résultat précédent.

solénoïde infini:  $\alpha_1 \rightarrow \pi$   
 $\alpha_2 \rightarrow 0 \implies \cos(\alpha_2) - \cos(\alpha_1) = 1 - (-1) = 2$

$$\vec{B}(M) = \mu_0 I \left( \frac{N}{L} \right) \vec{u}_z = + \mu_0 n I \vec{u}_z$$



$n = \frac{N}{L}$  : nombre de spires par unité de longueur (spires/m)